

КРАТКИЕ СООБЩЕНИЯ

УДК 548 : 537 621

© 1990

**ФАЗОВАЯ ДИАГРАММА
СИЛЬНОАНИЗОТРОПНОГО РОМБИЧЕСКОГО ФЕРРОМАГНЕТИКА
В ПОПЕРЕЧНОМ МАГНИТНОМ ПОЛЕ**

B. Г. Борисенко, Ю. В. Переверзев

Теоретические [1-5] и экспериментальные [6, 7] исследования сильноанизотропных магнетиков типа «легкая плоскость» выявили наличие квантовых особенностей в фазовых диаграммах этих магнетиков, наиболее ярко проявляющихся, когда аксиальная анизотропия $|D|$ пре-восходит по величине обменное взаимодействие \mathcal{J}_0 . К ним относится, например, отсутствие магнитного порядка в легкоупругих системах с целочисленным спином S при выполнении установленных в [4, 5] соотношений между анизотропией и обменом. При изменении знака анизотропии на тип «легкая ось» такие особенности отсутствуют. В то же время известно [8], что включение в гамильтониан легкоупругого магнетика двухосной константы анизотропии $E > \mathcal{J}_0$ приводит к упомянутому выше эффекту — разрушает в отсутствие поля H магнитный порядок вплоть до температур $T=0$. Поэтому целью настоящей работы было исследование особенностей фазовых $H-T$ диаграмм двухосного ферромагнетика со спином $S=1$ при наличии поперечного магнитного поля.

Гамильтониан рассматриваемой системы в общепринятых обозначениях имеет вид

$$\mathcal{H} = -\frac{1}{2} \sum_{l, l'} \mathcal{J}_{ll'} S_l S_{l'} - D \sum_l S_{lx}^2 - E \sum_l (S_{lx}^2 - S_{ly}^2) - g\mu H \sum_l S_{lz}, \quad (1)$$

где $D > E > 0$; $i=x, y$; g — g -фактор; μ — магнетон Бора. Имеющиеся в этом случае угловая фаза, когда направление H не совпадает с направлением спонтанной намагниченности M , и «парамагнитная» фаза, когда $H \parallel M$, разделены фазовой границей, уравнение которой в приближении молекулярного поля, согласно [4], записывается в виде

$$\mathcal{J}_0 \left\langle \int_0^\beta e^{\mathcal{H}_0 \tau} S_x e^{-\mathcal{H}_0 \tau} S_x d\tau \right\rangle = 1, \quad (2)$$

где $\beta = 1/T$, \mathcal{J}_0 — нулевая Фурье-компоненты обмена. При этом усреднение в (2) производится с гамильтонианом молекулярного поля

$$\mathcal{H}_0 = -DS_z^2 - E(S_x^2 - S_y^2) - (\mathcal{J}_0 \sigma_i + g\mu H) S_z, \quad (3)$$

где $\sigma_i = \langle S_i \rangle$. Собственные значения и состояния гамильтониана (3) для $S=1$ известны, что дает возможность произвести усреднение в (2) и получить уравнение фазовой границы. Например, для $H \parallel x$ уравнение (2) записывается в форме

$$-\frac{2}{Z_0} \sum_{i=1}^3 \frac{\varepsilon_i e^{-\varepsilon_i / T}}{(\varepsilon_i - \varepsilon_{i+1})(\varepsilon_i - \varepsilon_{i+2})} = 1, \quad (4)$$

где

$$Z_0 = \sum_{i=1}^2 \exp(-\varepsilon_i/t),$$

$t=T/J_0$ и доопределено $\varepsilon_4 \equiv \varepsilon_1$, $\varepsilon_3 \equiv \varepsilon_2$. Собственные значения энергии ε_i для этой ориентации магнитного поля имеют вид

$$\varepsilon_{1,3} = -(d+e)/2 \mp \{((d+e)/2)^2 + (\sigma_x + h)^2 \}^{1/2}, \quad \varepsilon_2 = -(d-e),$$

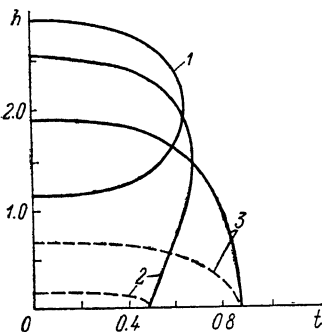
где $d=D/J_0$, $e=E/J_0$, $h=g\mu H/J_0$. Параметр самосогласования σ_x находится из уравнения

$$\sigma_x = \frac{\sigma_x + h}{\{ (d+e)/2 \}^2 + (\sigma_x + h)^2} \frac{e^{-\varepsilon_1 t} - e^{-\varepsilon_3 t}}{Z_0}. \quad (5)$$

Таким образом, совместное решение (4) и (5) позволяет найти вид фазовой границы. Соответствующие результаты для $H \parallel y$ могут быть

получены после замены $e \rightarrow -e$ в (4), (5). Проведем анализ уравнений (4), (5) при $T=0$.

$H \parallel x$. В «парамагнитной» фазе основному состоянию [соответствует собственное значение ε_1 и система уравнений (4), (5)



Фазовые $H-T$ диаграммы сильноанизотропного двухосного ферромагнетика с $S=1$ для различных величин ромбической анизотропии.

Штриховые кривые — $H \parallel x$, сплошные — $H \parallel y$. $d=2$, $e = -1.2$ (1), 0.95 (2), 0.5 (3).

имеет единственное решение при $e \leq 1$, которое и определяет величину критического поля ¹ перехода из угловой фазы в «парафазу»

$$2h_x^2 = (d-e) [\sqrt{(2+d+e)^2 + 8(d-e)(1-e)} - (2+d+e)]. \quad (6)$$

Область угловой фазы расположена в интервале полей $0 < h < h_x$. Из (6) очевидно, что рост величины ромбической анизотропии ведет к уменьшению критического поля и при $e=1$ $h_x=0$. Следовательно, для $e > 1$ и $T=0$ любое сколь угодно слабое магнитное поле индуцирует состояние «парафазы».

$H \parallel y$. В этом случае, если $e < 1$, основному состоянию соответствует собственное значение ε_1 и система (4), (5) имеет единственное решение — критическое поле перехода h_{1y} , значение которого определяется из (6) заменой $e \rightarrow -e$. Если же $e \geq 1$, основному состоянию может соответствовать либо ε_1 , либо ε_2 . Поэтому система (4), (5) имеет, кроме решения h_{1y} , и второе решение

$$h_{2y}^2 = 2(d+e)(e-1), \quad (7)$$

соответствующее собственному значению ε_2 . При этом значении критического поля намагниченность $\sigma_y=0$.

Отметим, что в отличие от $H \parallel x$ в случае $H \parallel y$ область угловой фазы существует при всех значениях e . При $e < 1$ область угловой фазы заключена в интервале $0 < h < h_{1y}$, а при $e \geq 1$ в интервале $h_{2y} < h < h_{1y}$.

Полученные выше результаты подтверждаются и численными расчетами при $T \neq 0$. На рисунке представлено изменение формы фазовой границы $h(t)$ при различных значениях e . Область угловой фазы находится под кривой, а «парафазы» — над кривой. Установлено, что для $H \parallel x$

¹ Значение критического поля (6) получено другим методом в работе [9].

область угловой фазы существует лишь при $e < 1$. С увеличением e фазовая граница стягивается к началу координат $H-T$ плоскости, и при $e=1$ область угловой фазы исчезает. Таким образом, для $e > 1$ вся $H-T$ плоскость является областью «парафазы». В случае $H \parallel y$ угловая фаза существует для всех значений e , однако при $e \rightarrow 1$ температура магнитного упорядочения $T_c(H=0) \rightarrow 0$. При $e > 1$ происходит отрыв области угловой фазы от оси температур. Отметим, что в рассмотренном здесь двухосном ферромагнетике изменение формы фазовой границы при $H \parallel x$ и $H \parallel y$ происходит так же, как и в одноосных магнетиках типа «легкая плоскость» в поперечном [5] и продольном [4] полях соответственно.

Список литературы

- [1] Morija T. // Phys. Rev. 1960. V. 117. N 3. P. 635–647.
- [2] Tsuneto T., Murao T. // Physica. 1971. V. 51. № 2. P. 186–196.
- [3] Розенфельд Е. В. // Письма в ЖЭТФ. 1976. Т. 24. № 2. С. 60–64.
- [4] Переверзев Ю. В., Борисенко В. Г. // ФТТ. 1984. Т. 26. № 4. С. 1249–1252.
- [5] Борисенко В. Г., Переверзев Ю. В. // ФТТ. 1985. Т. 27. № 9. С. 2771–2773.
- [6] Diederix H. M., Algra H. A., Groen J. P., Klassen T. O., Poulié N. J., Carlin R. L. // Phys. Lett. 1977. V. 60A. N 3. P. 247–249.
- [7] Algra M. A., Bartolome J., Jongh L. J., O'Connor C. J., Carlin R. L. // Physica. 1978. V. 93. B+C. N 1. P. 35–46.
- [8] Китаев В. Н., Кащенко М. П., Курбатов Л. В. // ЖЭТФ. 1973. Т. 65. № 6 (12). С. 2334–2342.
- [9] Андерс А. Г., Борисенко В. Г., Волоцкий С. В., Переверзев Ю. В. // ФНТ. 1989. Т. 15. № 1. С. 39–45.

Физико-технический институт
низких температур
АН УССР
Харьков

Поступило в Редакцию
26 июля 1989 г.

УДК 621.315.592

© Физика твердого тела, том 32, № 11, 1990
Solid State Physics, vol. 32, N 11, 1990

ТОКИ В ПИРОЭЛЕКТРИКАХ, ИНДУЦИРОВАННЫЕ НЕРАВНОВЕСНЫМИ ФОНОНАМИ

M. D. Блох

К настоящему времени в ряде работ [1, 2] получил доказательство тезис о том, что в однородной проводящей среде без центра инверсии всякая неравновесность ведет к появлению тока. В [3] изучались токи в примесных полупроводниках пироэлектрических классов, возникающие при отсутствии равновесия между подсистемами свободных и связанных электронов. Настоящее сообщение также посвящено пироэлектрикам, но причиной тока является неравновесность фононов. Микроскопическая картина эффекта состоит в следующем. Представим, что в полупроводниковом кристалле имеются неравновесные фононы больших энергий. Эти фононы возникают при инжекции в образец из нагретой металлической пленки [4, 5] или при непосредственном освещении полупроводника в процессах релаксации возбужденных носителей [6]. Такие неравновесные фононы могут поглощаться примесными электронами, возбуждая последние в зону. Вероятность такого возбуждения асимметрична относительно направления полярной оси кристалла, в результате чего потоки электронов вдоль и против оси не компенсируются и возникает электрический ток. Плотность этого тока можно представить в виде

$$j = -\frac{eN_i}{m} \sum_{q\alpha} \int \frac{d^3 p}{(2\pi\hbar)^3} p\tau_p (n_j - f_0) w_B^-(p, q\alpha) \Delta n_{q\alpha}, \quad (1)$$